

Traitement de Signal – TP2 – HABIBI

ISSAM

Introduction

Le TP2 s'intéresse à la modulation d'amplitude et la synthèse des filtres simples. .

Travail effectué

Etude théorique du passage sur porteuse et du retour à basse fréquence

- 1- Sachant que la transformée de Fourier du produit et le produit de convolution des transformées de Fourier on peut écrire : $X(f) = M(f) * TF(\cos(2\pi f_0 t))$.

Il en découle que $X(f) = M(f) * \frac{1}{2}[\delta(f - f_0) + \delta(f + f_0)]$

D'où $X(f) = \frac{1}{2}[M(f - f_0) + M(f + f_0)]$.

- 2- En utilisant le même raisonnement : $Y(f) = X(f) * \frac{1}{2}[\delta(f - f_0) + \delta(f + f_0)]$.

Donc $Y(f) = \frac{1}{2}X(f - f_0) + \frac{1}{2}X(f + f_0)$.

En développant les calculs , $Y(f) = \frac{1}{2}M(f) + \frac{1}{4}[M(f - 2f_0) + M(f + 2f_0)]$.

- 3- a- On doit utiliser un filtre pour conserver la partie $M(f)/2$ et couper les parties entre $-2f_0$ et $+2f_0$.

b- On doit utiliser un filtre passe bas , car il va couper les hautes fréquences qui se trouvent entre $-2f_0$ et $+2f_0$, seule la bande de fréquence $[-f_0, f_0]$ passera .

c- L'utilisation d'un filtre passe bas de fréquence de coupure f_c implique que :

$$H_I(f) = 1 \text{ si } f \in [-f_c, +f_c] \text{ et } 0 \text{ sinon}$$

$$\text{Donc } h(f) = \frac{1}{F_e} * \int_{-F_e/2}^{F_e/2} H_I(f) e^{+j2\pi k f} df$$

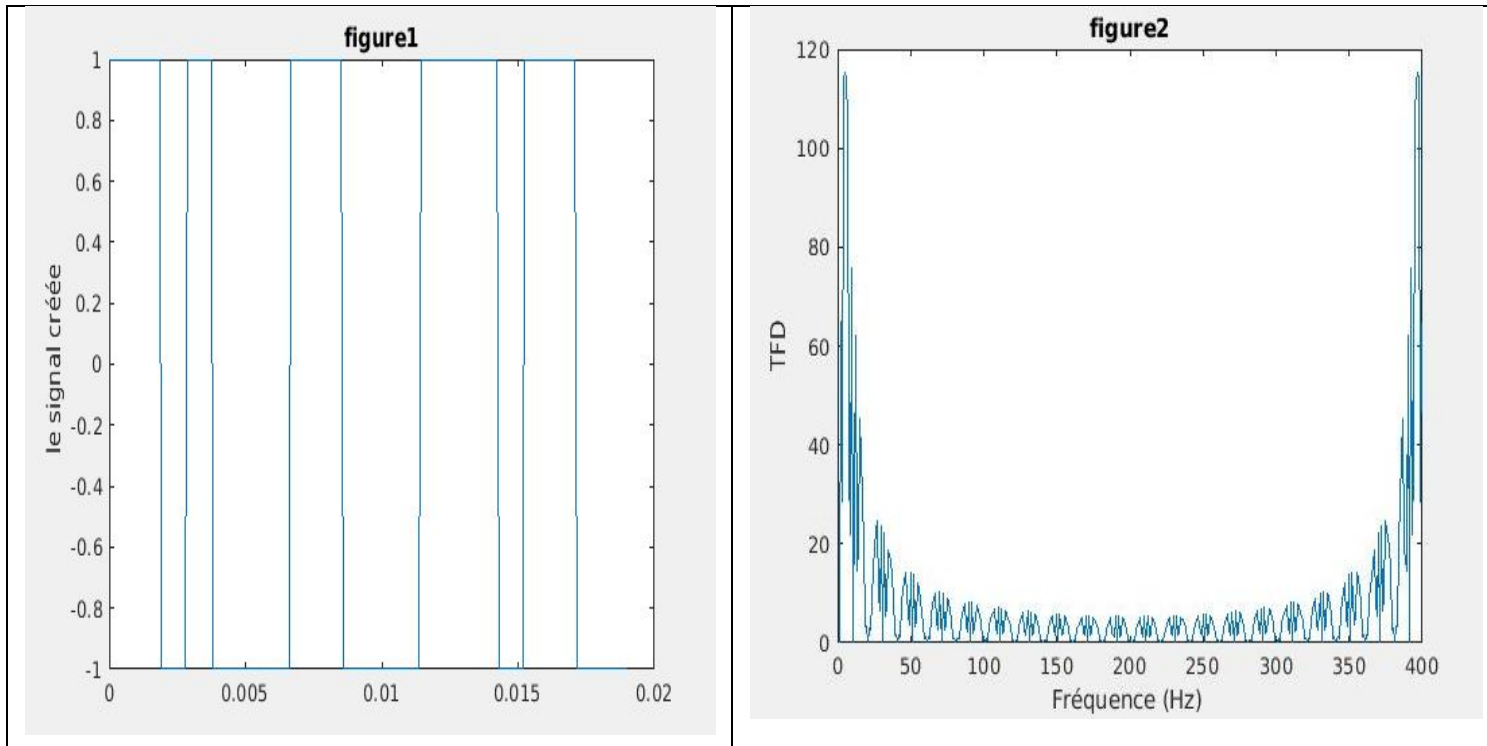
$$\text{D'où } h(f) = \frac{1}{F_e} * \int_{-f_c/2}^{+f_c/2} e^{+j2\pi k f} df$$

$$\text{D'où } h(f) = \frac{2f_c}{F_e} * \text{sinc}\left(\frac{2\pi k f_c}{F_e}\right)$$

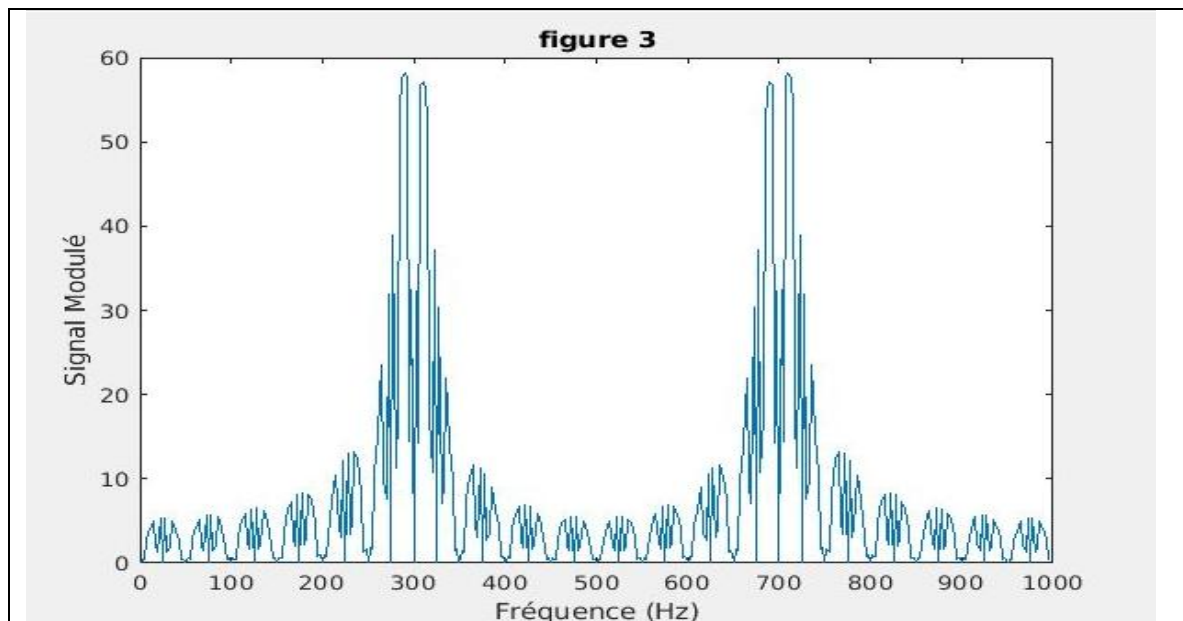
On retrouvera le message $m(t)$ en faisant le produit de convolution entre le signal y et h_I .

Implantation du modulateur :

On commence cette partie en générant une information binaire et en créant un signal à partir de cette information . les figures suivantes représentent le tracé du signal (figure 1) et sa TFD (figure 2) :

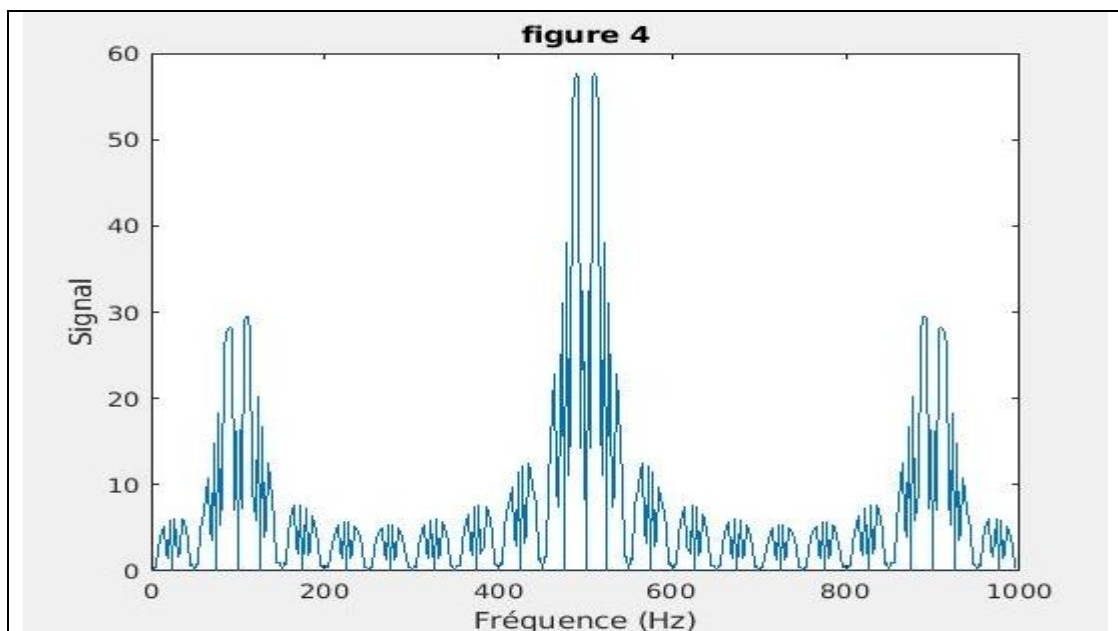


On fait ensuite une modulation d'amplitude , le tracé de la transformée de Fourier du signal modulé est la figure 3 suivante , elle est conforme avec l'étude théorique car on retrouve le même signal en f_0 et $-f_0$ avec une amplitude qui vaut la moitié de l'amplitude de $M(f)$.



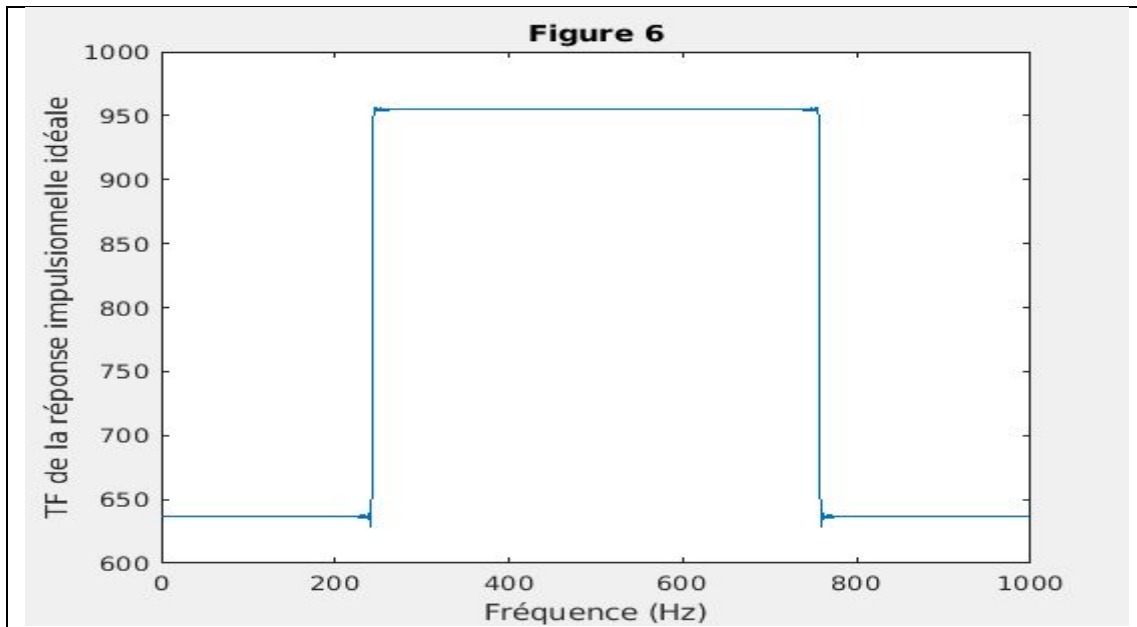
Implantation du retour à basse fréquence :

On re-multiplie dans cette partie le signal par un cosinus , le module de sa transformée de Fourier est présenté dans la figure 4 :

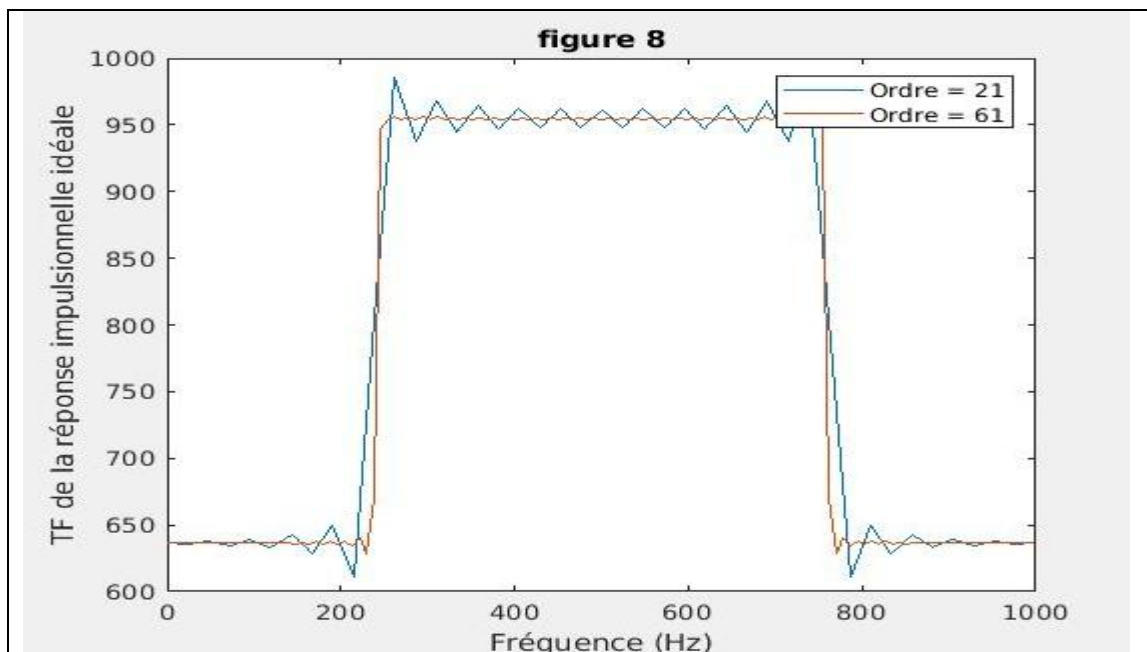


Ceci est aussi conforme avec l'étude théorique , car on retrouve les 3 signaux présents dans l'expression de $Y(f)$, qui sont $\frac{1}{2}M(f)$ au milieu , $\frac{1}{4}M(f)$ en $-2f_0$ et $+2f_0$.

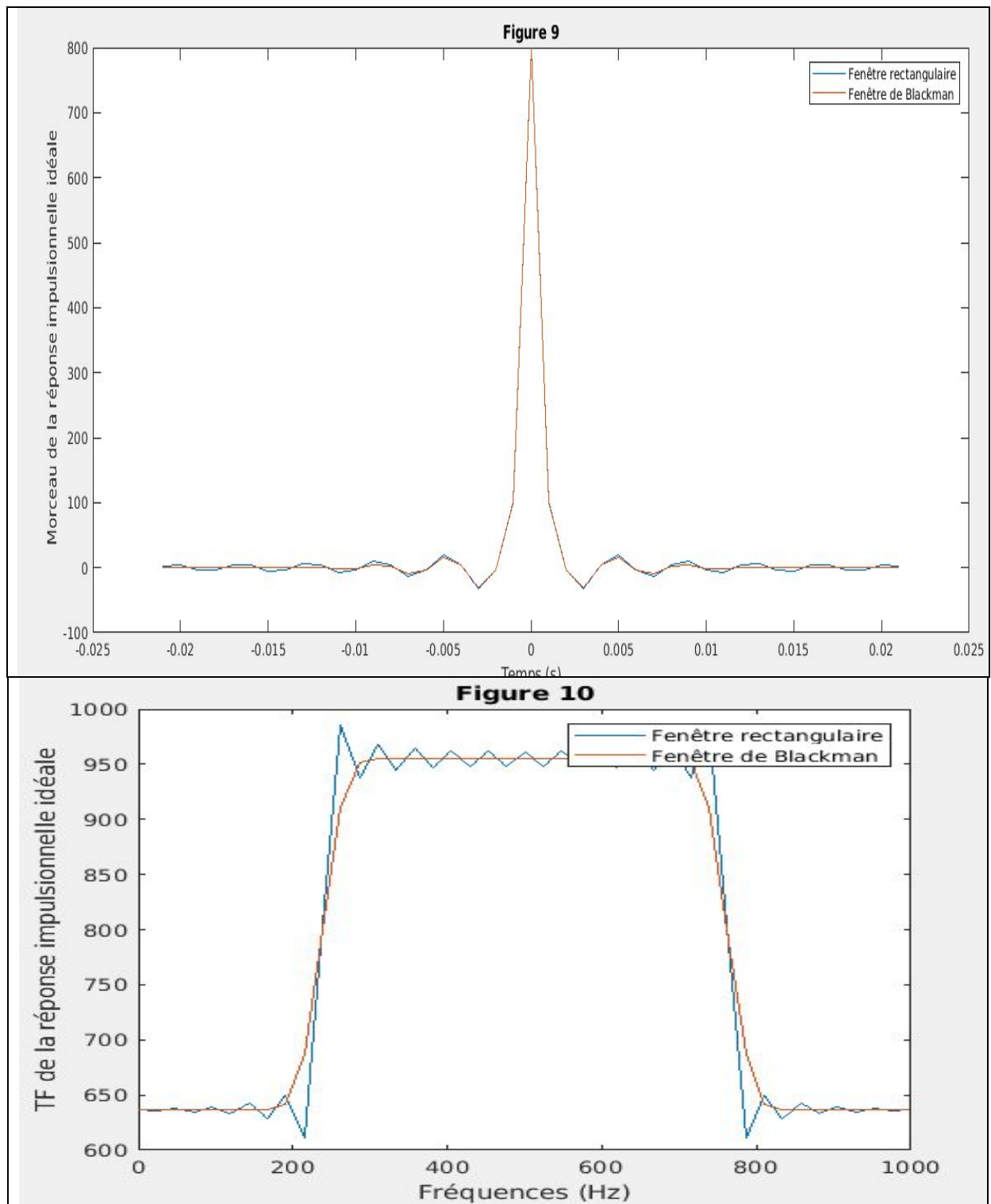
On se propose ensuite de réaliser un filtrage , on implémente la réponse impulsionnelle de la partie théorique dont la réponse figure si-dessus , et on trouve que le filtre est effectivement un filtre passe bas car cette figure 6 représente une porte de fréquence de coupure f_c .



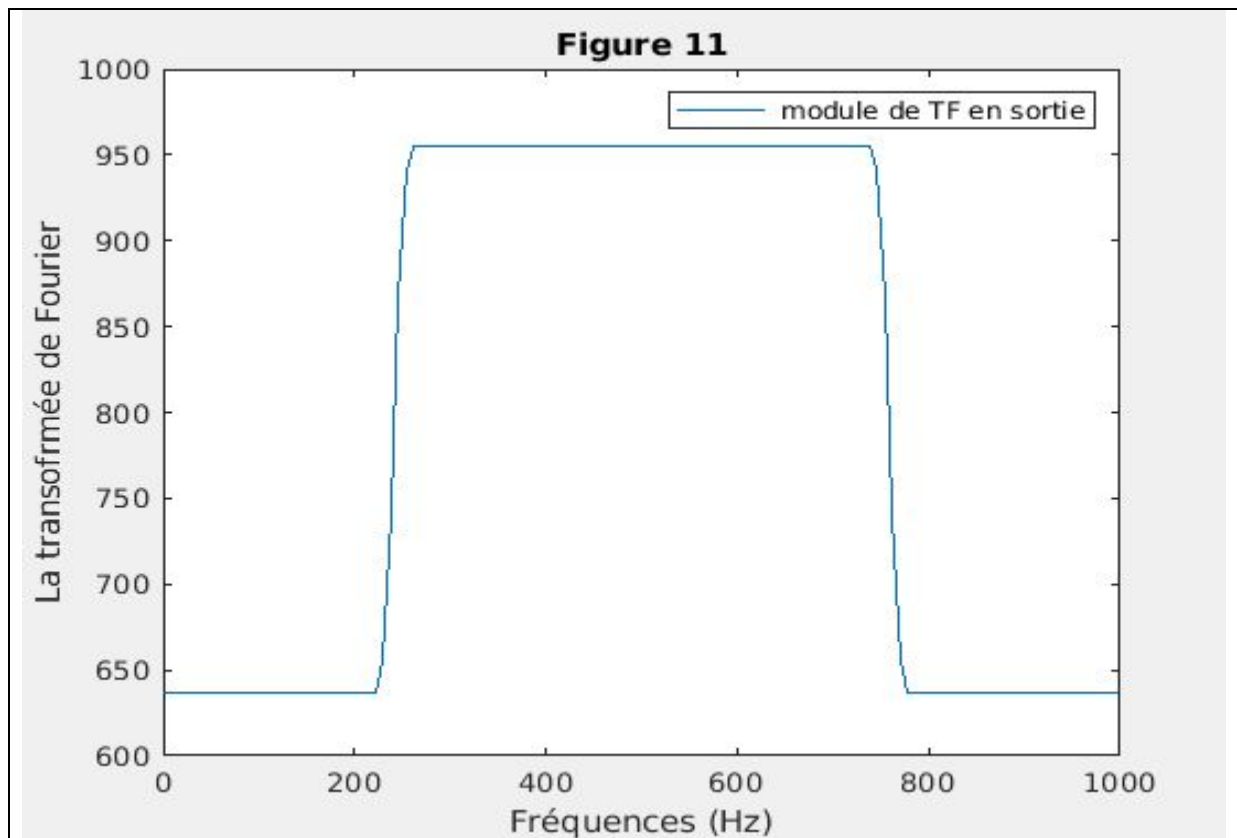
Si on compare les réponses en fréquence de notre filtre généré pour deux ordres différents (21 et 61) , on peut déduire et comme le montre la figure 8 , que l'augmentation de l'ordre implique l'augmentation de la sélectivité et la précision du filtre .



Si on fixe maintenant l'ordre et on utilise deux fenêtres de troncature différentes , On retrouve une influence pareille comme le montre les figure 9 (réponse impulsionnelle) et 10 (réponse en fréquence) , la fenêtre de Blackman est plus précise .



On choisissant la fenêtre de Blackmann et l'ordre 61 on trouve que le filte réalise la fonction souhaitée



Finalement , on réalise le filtrage en sortie du cosinus de réception , on remarque que les deux signaux sont presque les mêmes et que l'augmentation de l'ordre et le choix judicieux de la fenêtre de troncature vont rendre les deux signaux les mêmes .

